

«Бюллетень» содержит результаты наблюдений и исследований, выполненных в Абастуманской астрофизической обсерватории за последние годы в области астрофизики, звездной астрономии и солнечно-планетной астрономии.

Отв. редактор Е. К. Харадзе

## ЭЛЕКТРОФОТОМЕТРИЧЕСКИЕ НАБЛЮДЕНИЯ ПЕРЕМЕННОЙ ЗВЕЗДЫ ВТ ДРАКОНА

И.Ф.АЛАНИЯ

Переменная звезда ВТ Дракона есть третья звезда типа RR Лиры, которая наблюдалась нами фотоэлектрически в цветах  $V$  и  $U$  в Абастуманской обсерватории. Согласно третьему изданию ОКПЗ ее блеск в фотографических лучах заключен в пределах  $11^m0 - 12^m2$  и она причислена к типу "ав" с величиной асимметрии  $0^m17$ .

Наблюдения проводились на зеркальном телескопе АЗТ-14 (диаметр 48 см). Инструмент работает в комбинации с фотометром АФМ-6, в котором в качестве светоприемника применяется ФЭУ-А-1 с сурьмяно-цеизиевым фотокатодом. Световые сигналы регистрируются на ленточном самописце. Система  $UVB$  осуществляется со следующими светофильтрами:  $U$ ,  $UG2(2\text{мм})$ ;  $B$ ,  $BG12(1\text{мм}) + GG13(2\text{мм})$ ;  $V$ ,  $GG11(2\text{мм})$ .

Наблюдения были начаты в апреле 1972 года и продолжались до середины июля. Из-за неблагоприятных атмосферных условий в этом сезоне удалось получить только восходящую ветвь кривой блеска и небольшие участки около фаз 0.50 и 0.73. В 1973 году условия наблюдений оказались еще хуже; мы имели возможность пополнить лишь промежуток фазы от 0.15 до 0.36. В общей сложности, в течение двух сезонов было получено около ста точек в каждом цвете.

Измерения проводились относительно звезды, которая на рис. I отмечена стрелкой. Для определения ее  $V$  величины и показателя цвета

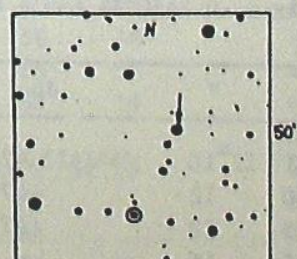


Рис. I

$V-V$  в качестве стандартной звезды использовалась HDI 37389, данные для которой были взяты из [1]. К сожалению, разность в блеске между звездой сравнения и HDI 37389 достигает почти 5<sup>m</sup>. Поэтому для осуществления привязки пришлось дополнительно наблюдать еще две звезды промежуточных яркостей. В табл. I представлены все используемые звезды в той последовательности, в которой проводились привязки.

Таблица I

| Звезда           | $V$                | $B-V$                | Спектр |
|------------------|--------------------|----------------------|--------|
| HDI 37389        | 5 <sup>m</sup> .96 | - 0 <sup>m</sup> .06 | B9     |
| HDI 33909        | 7.50               | + 0.17               | A2     |
| HDI 37827        | 8.45               | + 0.21               | A8     |
| Звезда сравнения | 10.83              | + 0.36               | F3     |

$V$  и  $B-V$  звезды сравнения определялись в течение четырех ночей и табличные значения представляют собой среднее арифметическое из 12 измерений. Средние квадратические ошибки одного определения величины  $V$  и цвета  $B-V$ , вычисленные по звезде сравнения, составляют  $\pm 0.04$  и  $\pm 0.03$  соответственно. Спектральный класс звезды сравнения нами оценен на пленках, полученных на 70-см менисковом телескопе с предобъективной призмой (дисперсия 166 Å/mm около линии H-гамма) Абастуманской обсерватории. Спектры остальных звезд указаны по HD.

Инструментальная система приводилась к стандартной системе на электронно-вычислительной машине "Наира-2" по формулам:

$$\Delta V = \Delta v - 0.095 \Delta(B-V) - 0.26 \Delta X - 0.012 \bar{X} \Delta(B-V),$$

$$\Delta(B-V) = 0.994 \Delta(B-V) - 0.128 \Delta X + 0.013 \bar{X} \Delta(B-V),$$

где  $\Delta(B-V)$  является разностью показателей цвета звезды сравнения и переменной в инструментальной системе, а  $\Delta X$  разность воздушных масс между ними.

Результаты наблюдений приведены в табл. 2. Фазы вычислялись относительно элементов:

$$\text{Max} = \text{JD} 2430734.635 + 0.5886727 E$$

Таблица 2

| JD          | $\Phi$ | $B$                 | $V$                 | JD          | $\Phi$ | $B$                 | $V$                 |
|-------------|--------|---------------------|---------------------|-------------|--------|---------------------|---------------------|
| 2441423.446 | 0.480  | 12 <sup>m</sup> .51 | 12 <sup>m</sup> .10 | 2441423.470 | 0.520  | 12 <sup>m</sup> .59 | 12 <sup>m</sup> .08 |
| 448         | 484    | 50                  | 12                  | 474         | 528    | 60                  | 18                  |
| 452         | 492    | 53                  | 12                  | 478         | 534    | 58                  | 16                  |
| 456         | 496    | 56                  | 06                  |             |        |                     |                     |
| 459         | 502    | 56                  | 18                  | 474.286     | 841    | 65                  | 25                  |
| 462         | 508    | 54                  | 12                  | 288         | 846    | 64                  | 16                  |
| 466         | 514    | 60                  | 13                  | 292         | 850    | 66                  | 20                  |

Таблица 2 (продолжение)

| JD            | $\Phi$ | $B$                 | $V$                 | JD          | $\Phi$ | $B$                 | $V$                 |
|---------------|--------|---------------------|---------------------|-------------|--------|---------------------|---------------------|
| 244142474.296 | 0.858  | 12 <sup>m</sup> .72 | 12 <sup>m</sup> .20 | 2441514.344 | 0.888  | 12 <sup>m</sup> .63 | 12 <sup>m</sup> .33 |
| 298           | 862    | 67                  | 22                  | 346         | 893    | 73                  | 27                  |
| 302           | 868    | 68                  | 32                  | 348         | 896    | 64                  | 24                  |
| 306           | 874    | 66                  | 25                  | 352         | 902    | 64                  | 20                  |
| 309           | 880    | 66                  | 32                  |             |        |                     |                     |
| 312           | 884    | 64                  | 32                  | 779.401     | 151    | II.77               | II.52               |
| 316           | 890    | 62                  | 22                  | 405         | 158    | 80                  | 59                  |
| 320           | 900    | 64                  | 24                  | 408         | 163    | 80                  | 58                  |
| 324           | 906    | 61                  | 18                  | 412         | 169    | 82                  | 58                  |
| 328           | 912    | 58                  | 18                  | 415         | 174    | 84                  | 60                  |
| 332           | 920    | 56                  | 16                  | 418         | 180    | 86                  | 60                  |
| 336           | 924    | 49                  | 10                  | 421         | 185    | 88                  | 60                  |
| 338           | 930    | 45                  | 09                  | 423         | 188    | 90                  | 65                  |
| 342           | 936    | 33                  | II.95               | 428         | 196    | 90                  | 65                  |
| 346           | 942    | 28                  | 94                  | 430         | 200    | 92                  | 68                  |
| 348           | 948    | 15                  | 86                  | 432         | 203    | 95                  | 68                  |
| 352           | 954    | 16                  | 84                  | 434         | 207    | 96                  | 68                  |
| 354           | 958    | 06                  | 78                  | 436         | 210    | 98                  | 69                  |
| 358           | 962    | 05                  | 79                  | 438         | 213    | 98                  | 74                  |
| 362           | 968    | II.98               | 76                  | 441         | 218    | 99                  | 72                  |
| 364           | 974    | I2.00               | 80                  | 443         | 222    | I2.02               | 75                  |
| 370           | 984    | II.90               | 76                  | 445         | 225    | 00                  | 76                  |
| 372           | 988    | 82                  | 62                  | 448         | 230    | 05                  | 78                  |
| 376           | 994    | 82                  | 60                  | 450         | 234    | 02                  | 77                  |
| 378           | 998    | 69                  | 49                  | 452         | 237    | 04                  | 72                  |
| 382           | 002    | 72                  | 50                  | 458         | 247    | 04                  | 80                  |
| 384           | 008    | 71                  | 47                  | 460         | 250    | 05                  | 79                  |
| 386           | 012    | 66                  | 50                  | 462         | 254    | 04                  | 74                  |
| 388           | 016    | 60                  | 42                  | 464         | 257    | 06                  | 78                  |
| 394           | 024    | 60                  | 42                  | 466         | 261    | 09                  | 82                  |
| 398           | 030    | 60                  | 40                  | 468         | 264    | 09                  | 80                  |
| 400           | 034    | 56                  | 38                  | 469         | 266    | 10                  | 81                  |
| 404           | 042    | 55                  | 37                  | 471         | 269    | 13                  | 83                  |
| 406           | 046    | 58                  | 38                  | 473         | 272    | I4                  | 83                  |
|               |        |                     |                     | 474         | 274    | I5                  | 84                  |
| 508.356       | 718    | I2.71               | I2.18               | 501         | 320    | 22                  | 87                  |
| 360           | 724    | 65                  |                     | 502         | 321    | 22                  | 87                  |
| 364           | 729    | 62                  |                     | 504         | 326    | 24                  | 90                  |
| 366           | 734    | 70                  | 21                  | 506         | 328    | 26                  | 93                  |
| 368           | 738    | 64                  | 24                  | 508         | 331    | 27                  | 92                  |
| 514.340       | 882    | 61                  | 25                  | 512         | 338    | 27                  | 92                  |
|               |        |                     |                     | 514         | 342    | 29                  | 91                  |

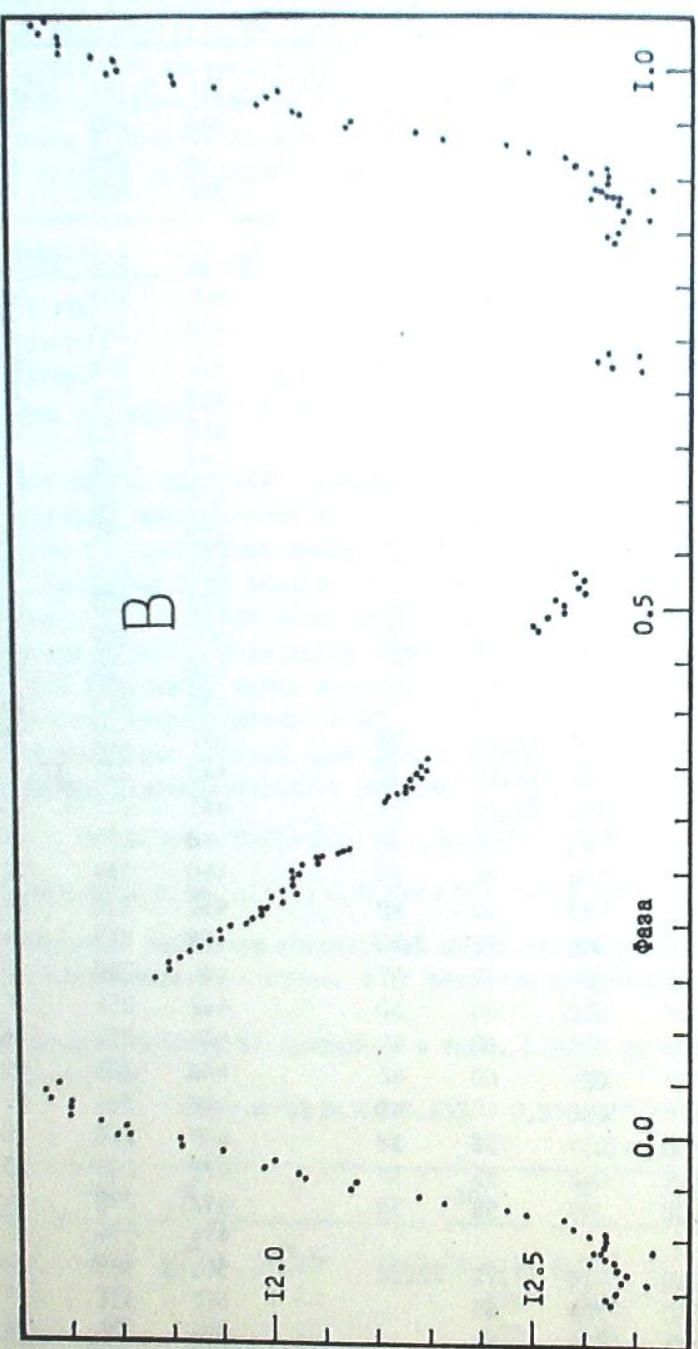


Рис. 2

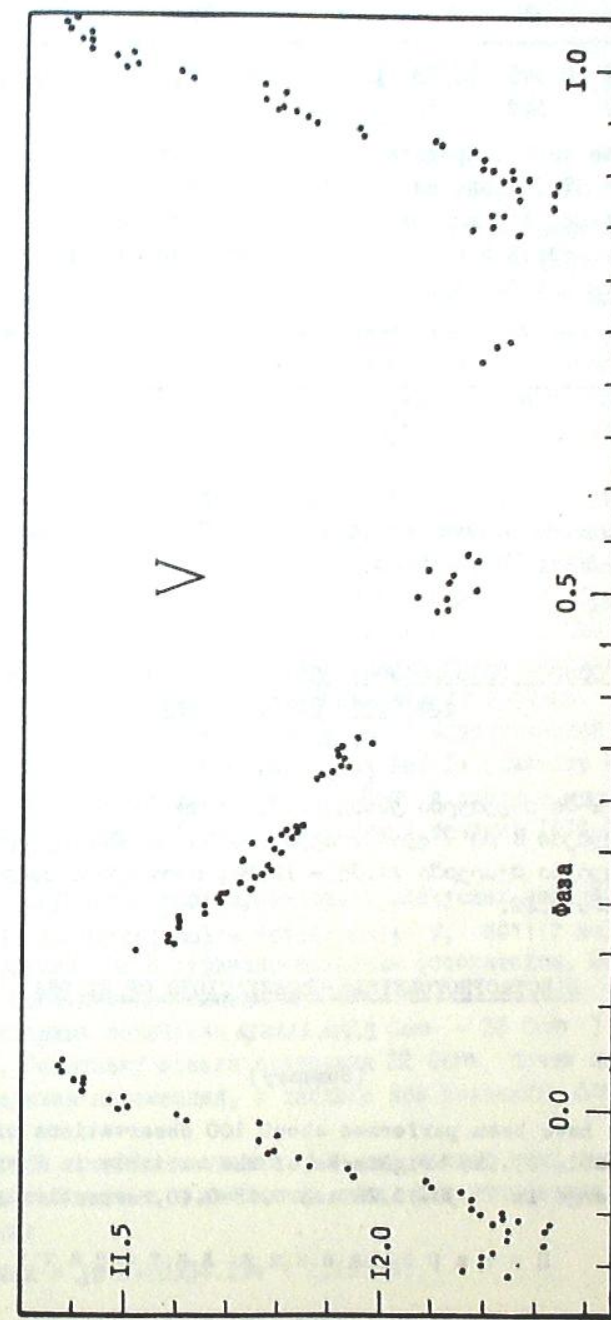


Рис. 3

Таблица 2 (продолжение)

| JD          | Φ.    | B     | V     | JD          | Φ     | B     | V     |
|-------------|-------|-------|-------|-------------|-------|-------|-------|
| 2441779.516 | 0.345 | 12.28 | 11.91 | 2441779.519 | 0.350 | 12.29 | 11.98 |
| 517         | 348   | 30    | 92    | 524         | 359   | 30    | 95    |

Данные табл.2 представлены на рис. 2 и 3. Несмотря на то, что весь период ВТ Дракона не покрыт наблюдениями и рассеяние точек в лучах V значительное, все же кривые вырисовываются довольно четко и позволяют надежно определить экстремальные значения величин и показателей цвета. Они выписаны в табл. 3.

Таблица 3

| Величина | Максимум | Минимум | Амплитуда |
|----------|----------|---------|-----------|
| B        | 11.56    | 12.66   | 1.10      |
| V        | 11.38    | 12.26   | 0.88      |
| B-V      | + 0.18   | + 0.40  | 0.22      |

Асимметрия в лучах B равна 0<sup>h</sup>16'. Согласно нашим наблюдениям разность " О - С " = + 0<sup>d</sup>025.

Декабрь, 1973.

ЭЛЕКТРОФОТОМЕТРИЧЕСКИЕ НАБЛЮДЕНИЯ ВТ - В ДРАКОНА  
—  
П. Ф. АЛАНЬЯ

(БУГУРДЗ)

Обр. 2-ой опубликованной заслуживающей внимания работы В. Ф. Аланья о наблюдении Вт - В в системе UBV. Установлено, что амплитуда светового излучения в системе UBV в диапазоне 11.38 - 12.26, цветовой коэффициент 0.18-0.40.

#### ELECTROPHOTOMETRIC OBSERVATIONS OF BT DRA

I.PH.ALANIA

(Summary)

There have been performed about 100 observations of BT Dra in B and V colors (Table 2). The brightness of the variable in V and the color-indices (B-V) range in 11.38-12.26 and 0.18-0.40, respectively.

#### Цитированная литература

#### ЭЛЕКТРОФОТОМЕТРИЯ МАГНИТНОЙ ПЕРЕМЕННОЙ ЗВЕЗДЫ 21 ВОЛОС ВЕРОНИКИ

И.Ф.АЛАНЬЯ и О.П.АБУЛАДЗЕ

Как известно, 21 Com является типичной стронциевой звездой с аномально сильными резонансными линиями стронция SrII  $\lambda\lambda$ 4078 и  $\lambda$ 4216. В начале тридцатых годов стало известно, что интенсивности этих линий меняются со временем. После установления периодичности спектральных изменений данная звезда наблюдалась многократно и для представления своих результатов наблюдатели, в разное время, получали для периода 21 Com значения 7.75, 1.0256, 1.0975, 1.1460, 1.125, 2.1953.

Возникает вопрос: чем обусловлен такой разброс длины периода? Является он результатом неточности самих наблюдений или в данном случае со временем действительно меняется длина периода. К сожалению, анализ материала, накопленного до настоящего времени для 21 Com не дает возможности однозначно ответить на эти вопросы. Для решения данной задачи требуются большие ряды прецизионных фотозелектрических наблюдений, не разделенных значительными интервалами времени.

Для восполнения существующего пробела мы, в Абастуманской обсерватории, с 1972 года, на зеркальном телескопе АЗТ-14 (диаметр 48 см) предприняли новые трехцветные наблюдения 21 Com в системе UBV. В настоящей статье даются результаты, полученные в течение 1972-1974 годов.

Система UBV осуществлялась применением следующих светофильтров: U, WG2(2 mm); B, BG12(1 mm) + GG13(2 mm); V, GG11(2 mm). Приемником света служил ФЭУ с сурьмяно-цеизиевым фотокатодом. Измерения производились относительно звезды 22 Com.

Разности в звездных величинах ( $\Delta m = 21 \text{ Com} - 22 \text{ Com}$ ) представлены в табл. I. Поскольку звезда сравнивания 22 Com почти на I слабее, чем исследуемая переменная, в таблице все значения  $\Delta m$  отрицательные.

В табл. 2 даются средние значения  $\Delta m$  для каждой ночи вместе со средними моментами наблюдения в юлианских днях. Для вычисления фаз мы использовали формулу

$$\text{Max} = \text{JD } 2440334.194 + 2.1953E,$$